



Variation de la microstructure des argiles remaniées sous chargement triaxial en relation avec le phénomène de la dilatance

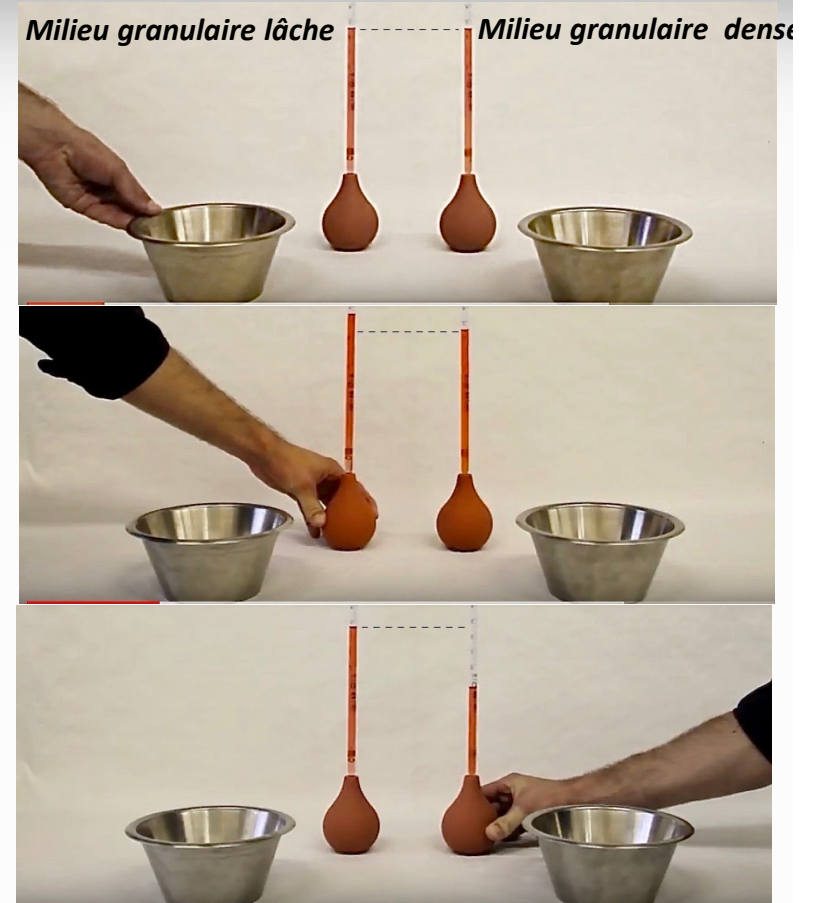
Qianfeng GAO (LEM3-UL), **Mahdia HATTAB** (LEM3-UL), **Jean-Marie Fleureau** (MSSMat-CentraleSupélec),
Pierre-Yves HICHER (GeM-EC Nantes)

Partie 1 – Etude expérimentale

Partie 2 – Modélisation Micromécanique

- 1 Introduction**
- 2 Comportement mécanique – Chemins triaxiaux**
- 3 Comportement dilatant et état microstructurelle**
- 4 Conclusions**

Phénomène de Dilatance- Dilatance de Reynolds



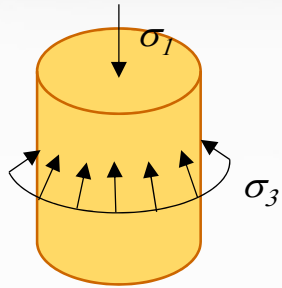
Faculty of Civil Engineering RWTH
Aachen University

Phénomène de Liquéfaction



Effondrement par Liquéfaction.
Séisme de Niigata (1964) – (USGS)

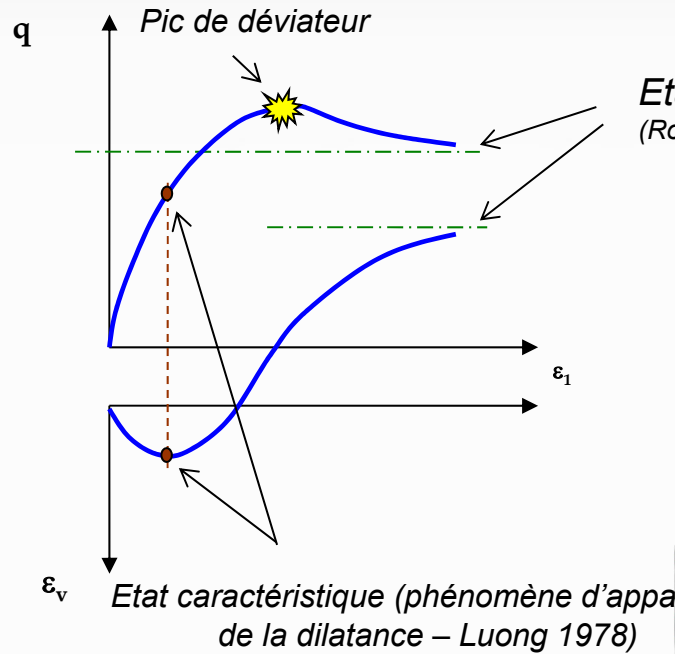
Objectifs



$$p' = \frac{\sigma'_1 + 2\sigma'_3}{3}$$

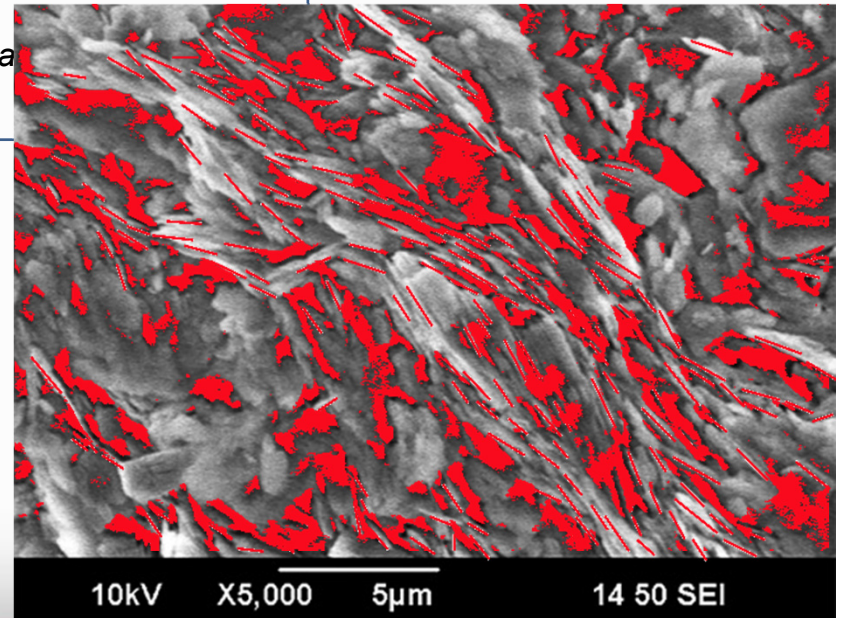
$$q = \sigma'_1 - \sigma'_3$$

Cas de $OCR > 2$

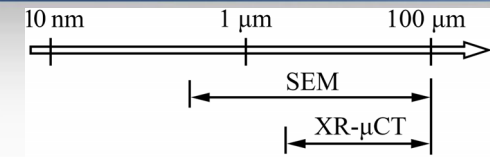


Comportement typique **des argiles saturées remaniées surconsolidées** sur chemin triaxial classique

Identifier les mécanismes qui s'activent au niveau local pour les relier au comportement macroscopique



Approche expérimentale pour une investigation Micro-Macro



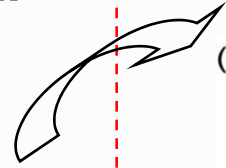
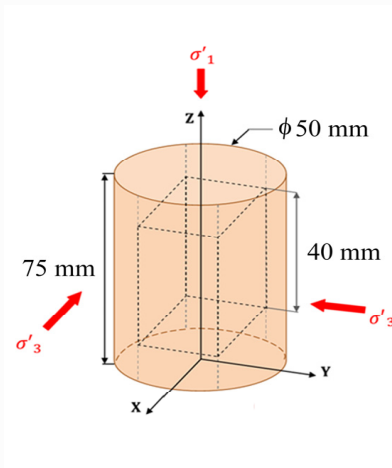
Essais Mécaniques

Observations Microscopiques

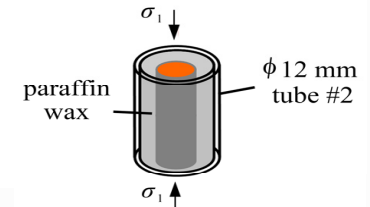
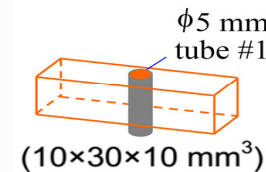
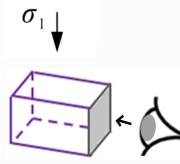
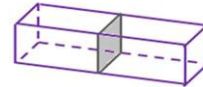
Essais triaxiaux drainés

Microscopie Electronique à Balayage
Observations au MEB

X-ray Microtomography
(XR-μCT) scans



(10×30×10 mm³)



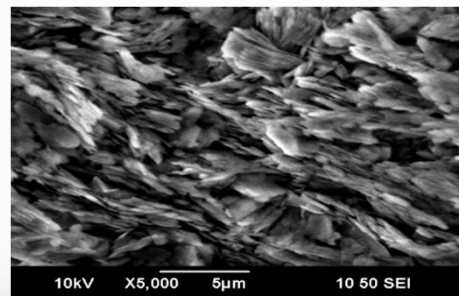
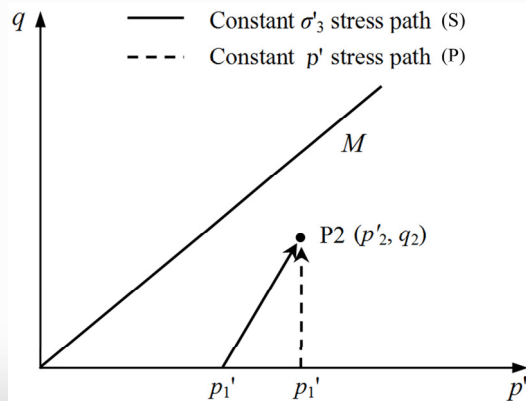
Lyophilisation, Fracture, Métallisation



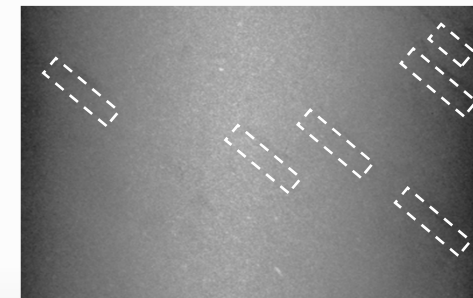
JSM-6490 (JEOL)



Haute Resolution 3D μCT (XR-Solutions)



Images MEB

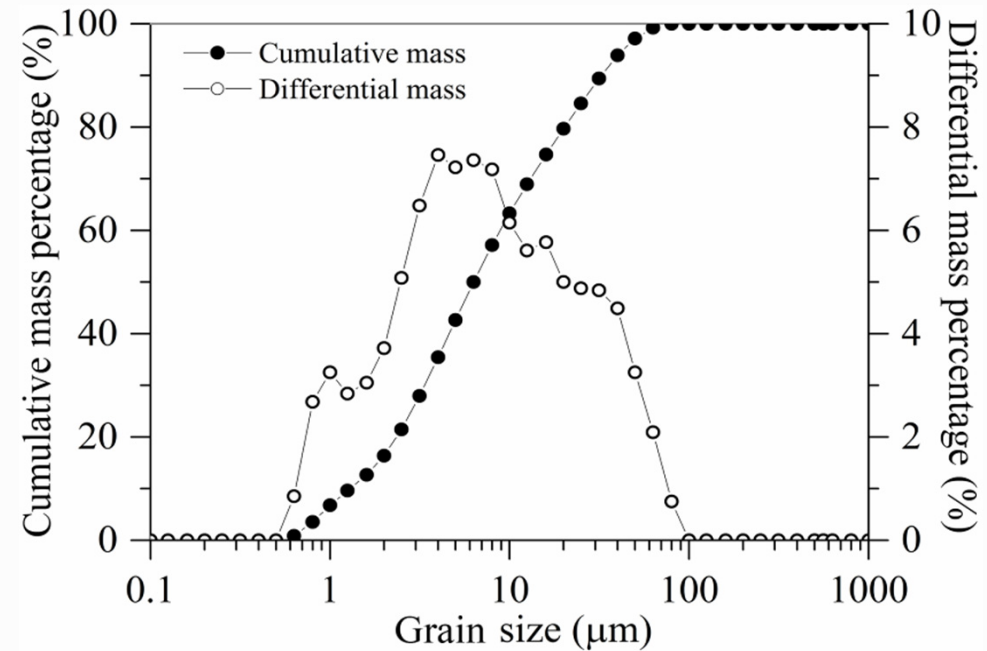
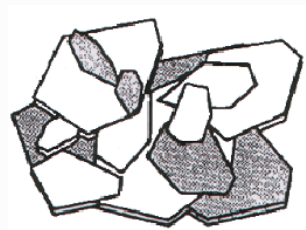
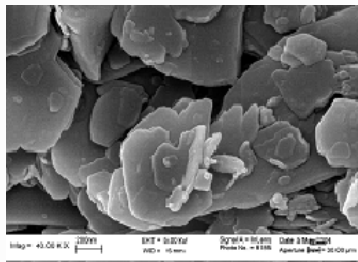
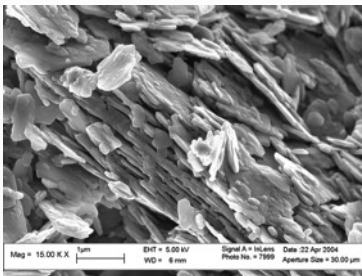
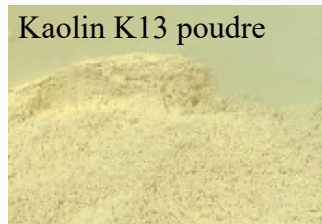


CT projection

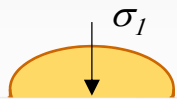
Propriétés du matériau modèle

Matériau	Limite de liquidité w_L (%)	Limite de plasticité w_P (%)	Indice de plasticité I_p (%)	Densité des grains solides ρ_s/ρ_w	Indice de compression C_c	Indice de gonflement $t C_s$
Kaolin K13	42	21	21	2.63	0.28	0.09

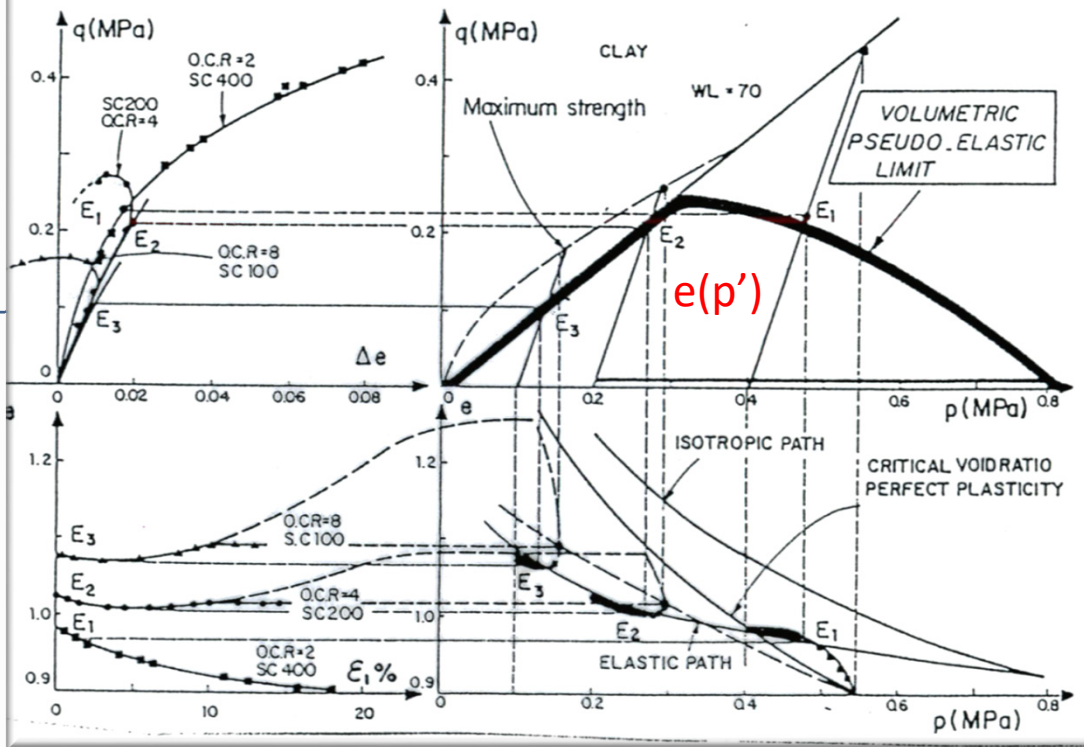
Kaolin K13 poudre



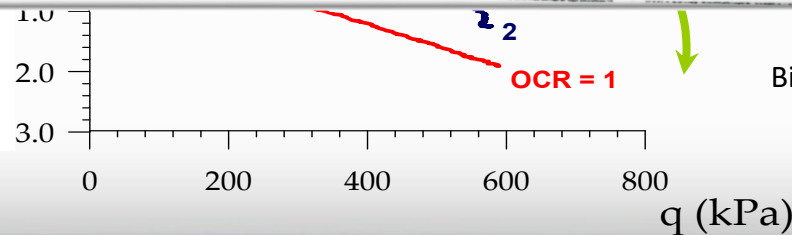
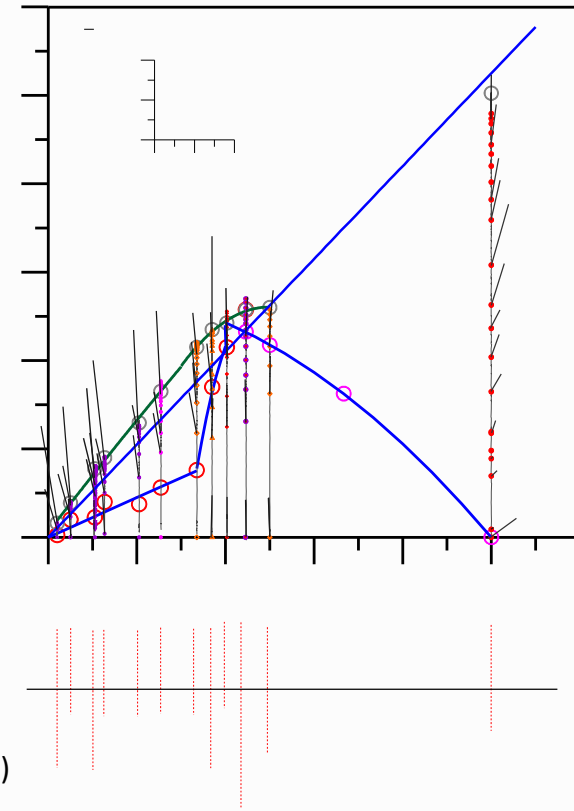
Cadre formel de l'élastoplasticité



$$\sigma'_{ij} = p' \delta_{ij} + q \partial_{ij} \quad \varepsilon_{ij} = \frac{1}{3} \varepsilon_v \delta_{ij} + \bar{\varepsilon} d_{ij}$$

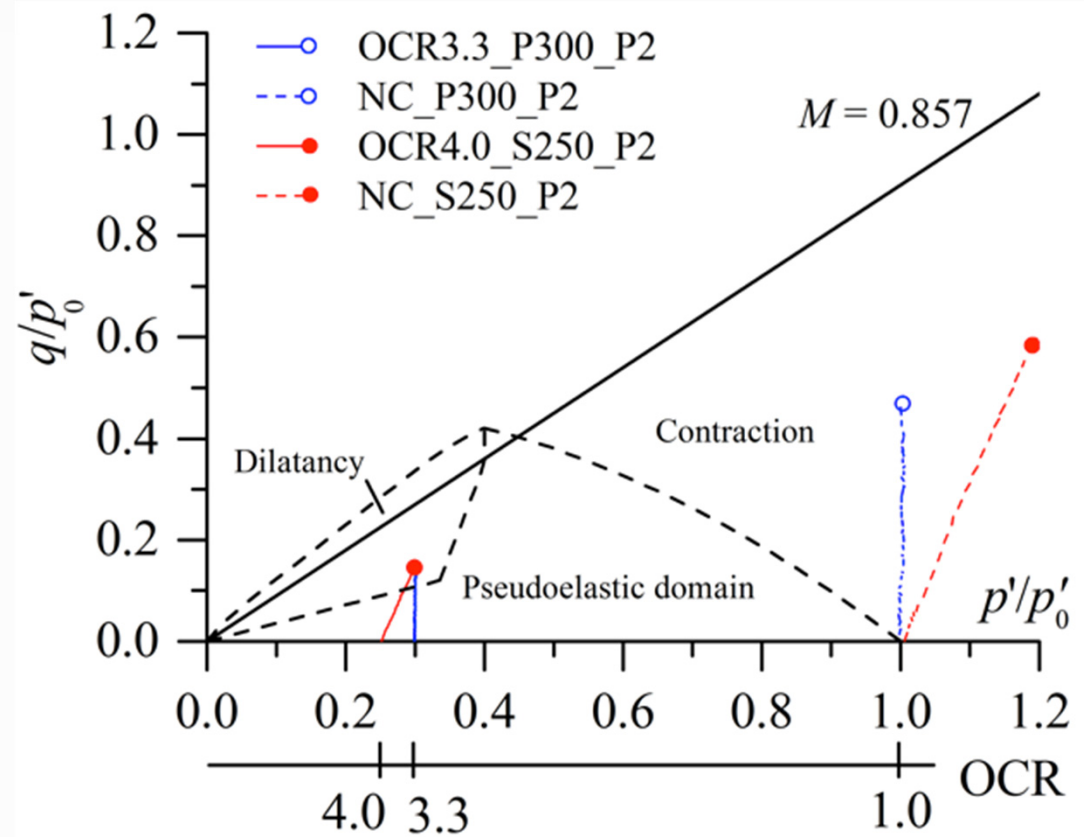
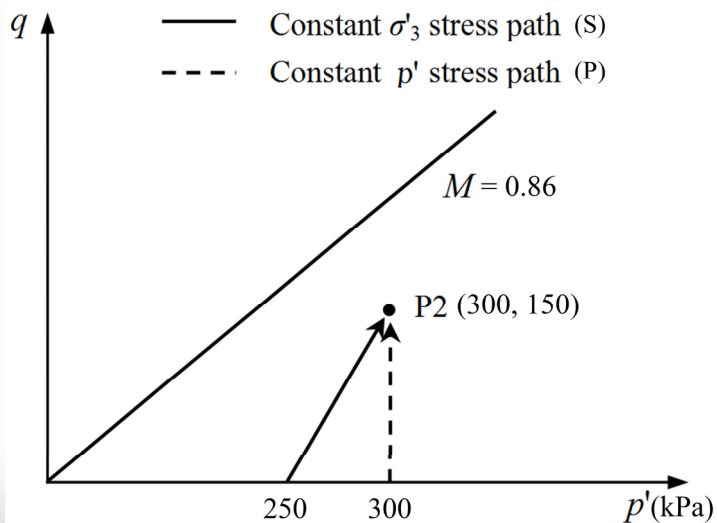
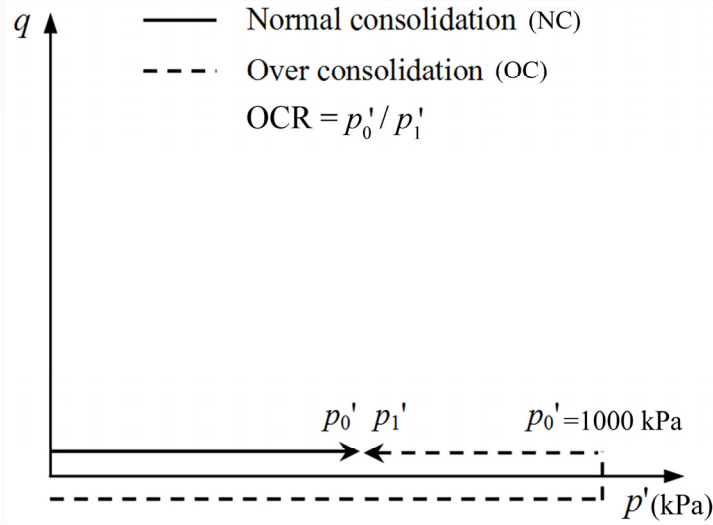


Hattab M, Hicher P-Y (2004)

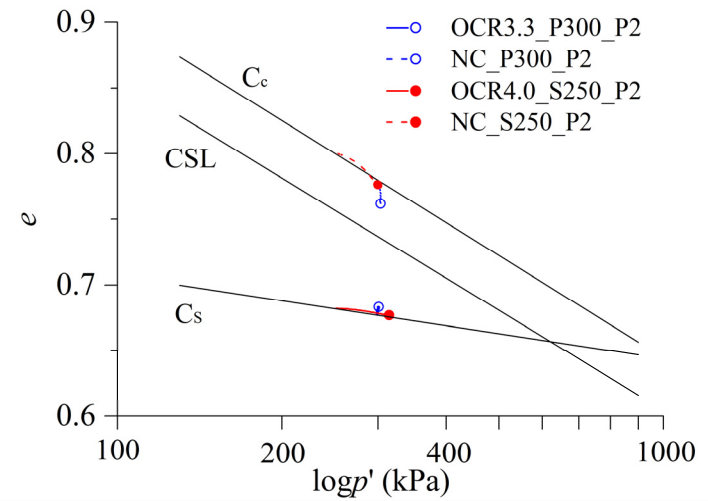
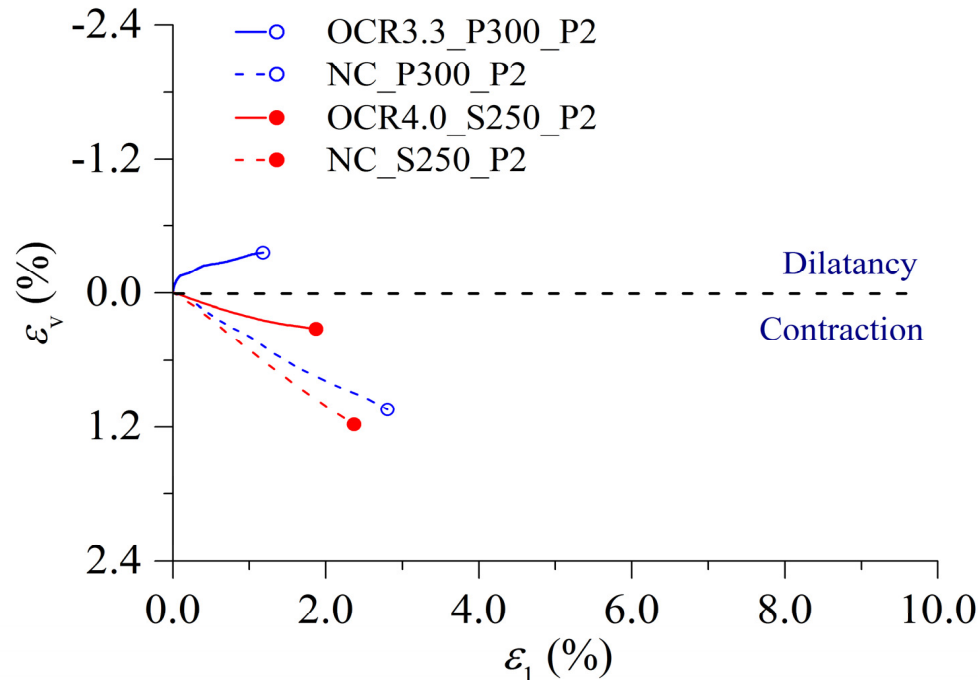
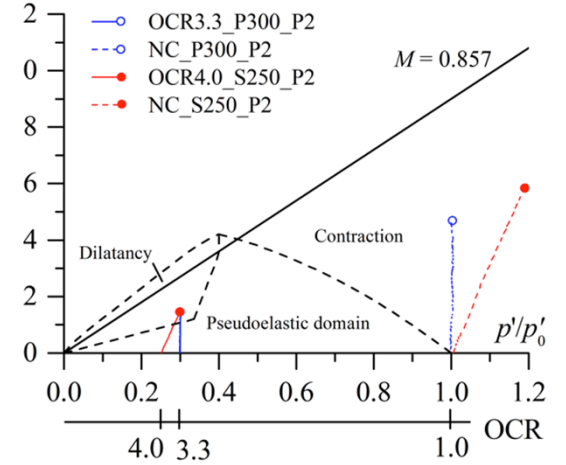
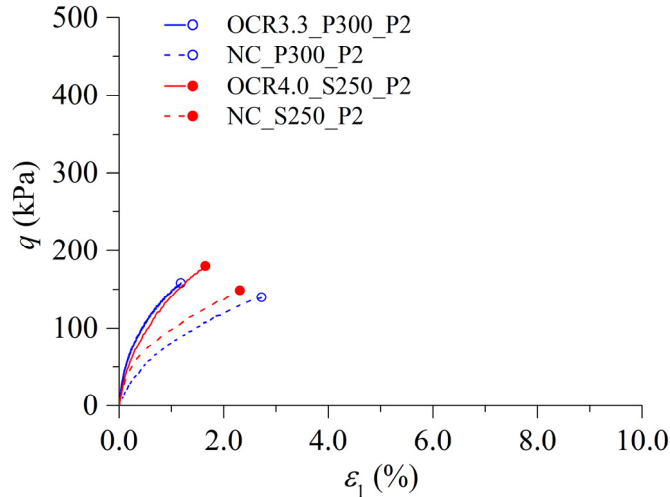
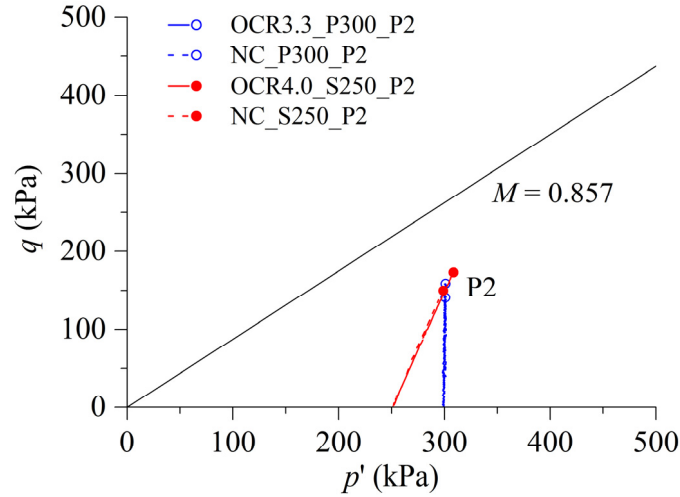


Biares and Hicher (1994)

Cadre de l'étude

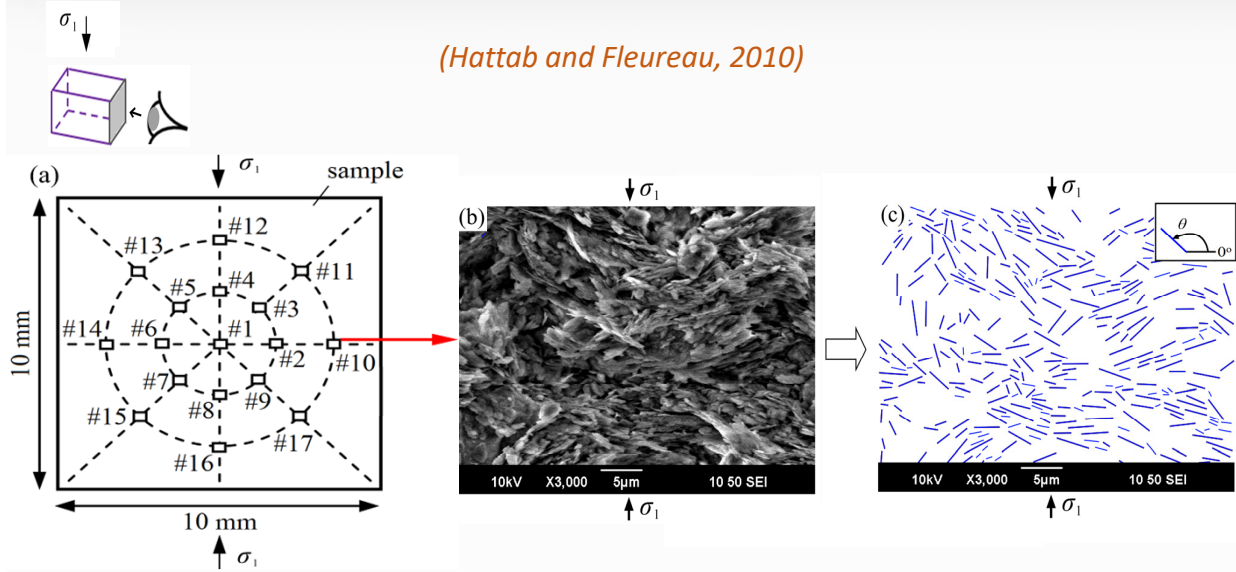


Comportement mécanique - Influence du chemin des contraintes



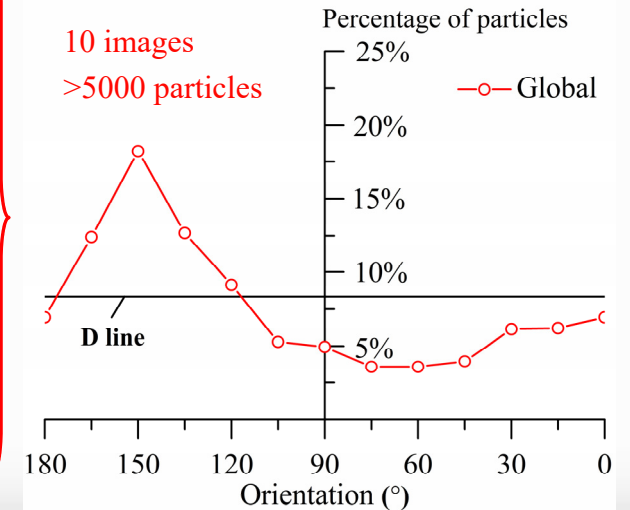
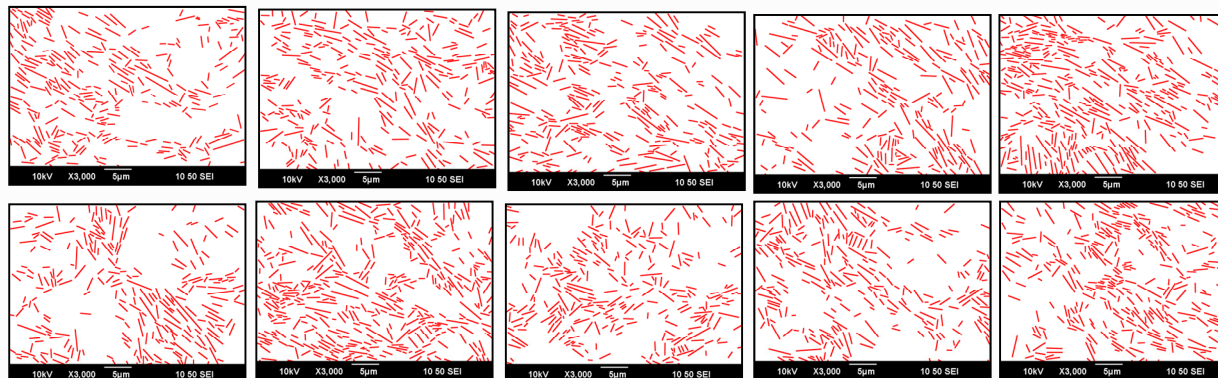
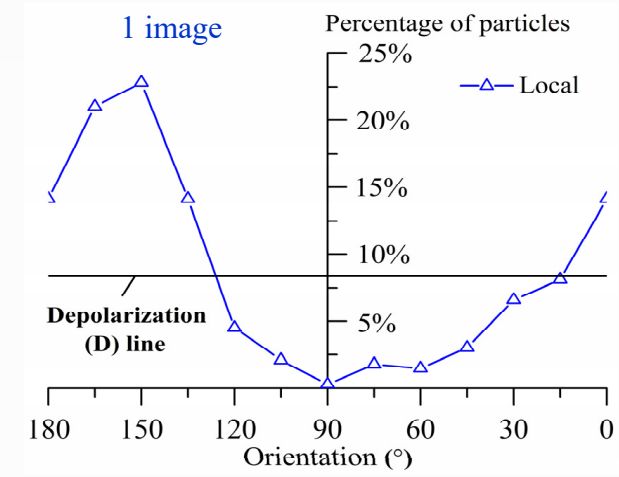
Ighil Ameer L., Gao Q. (2016)

Caractérisation de la Microstructure – Orientation des particules (MEB)



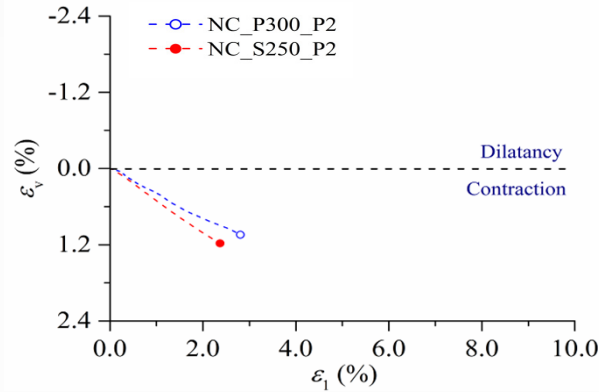
(Hattab and Fleureau, 2010)

(Q. Gao, 2018)

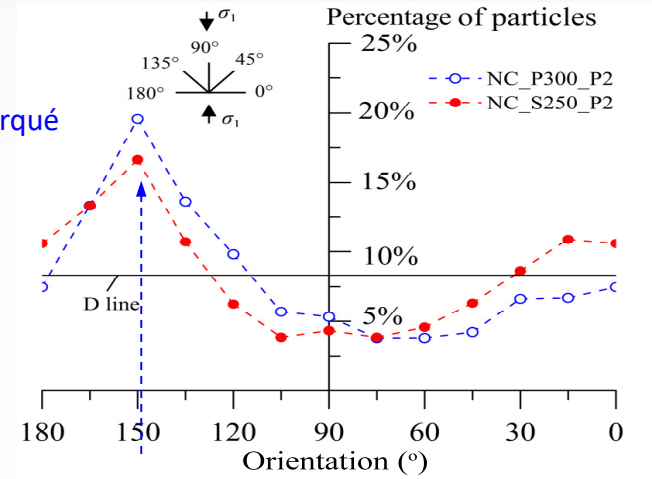


Caractérisation de la Microstructure – Orientation des particules (MEB)

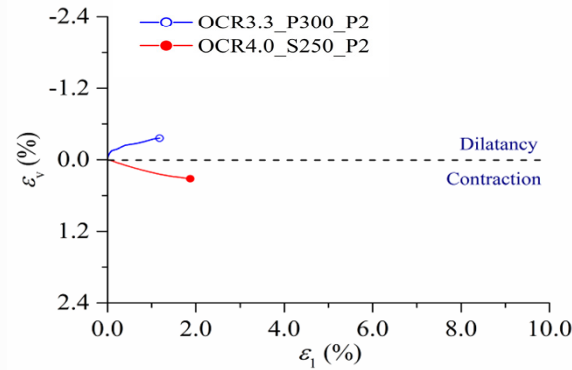
Cas normalement consolidé



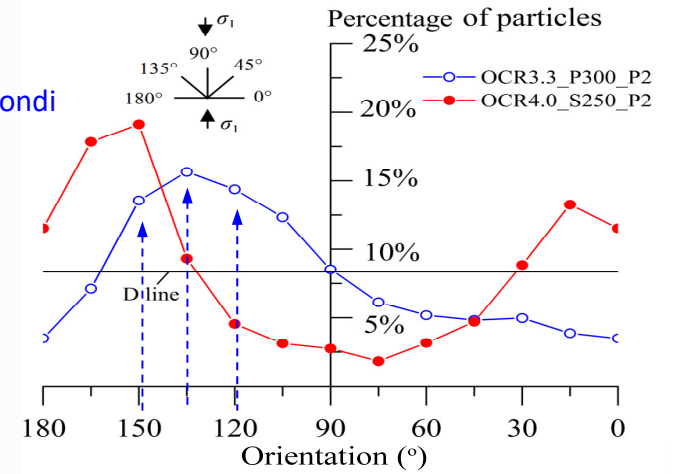
Pic marqué



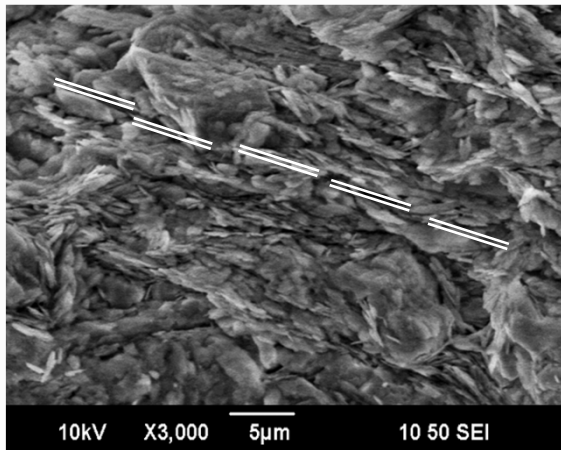
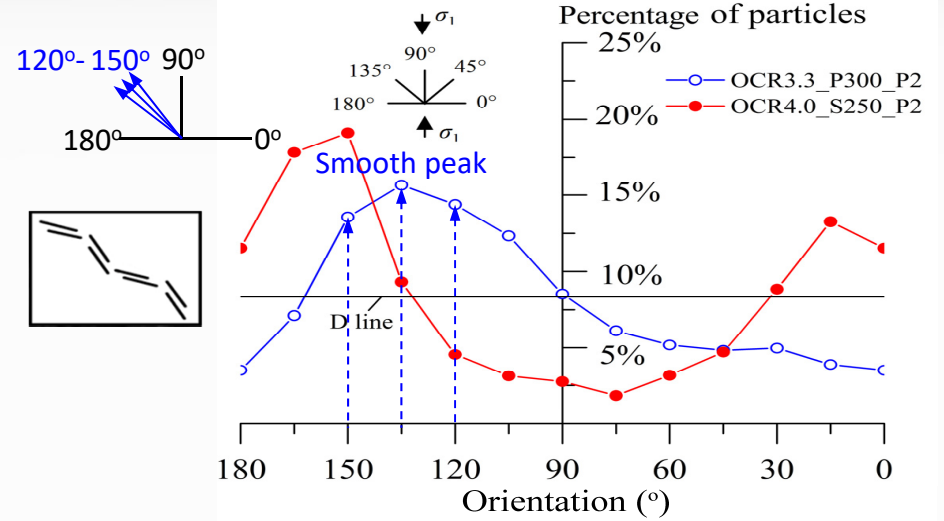
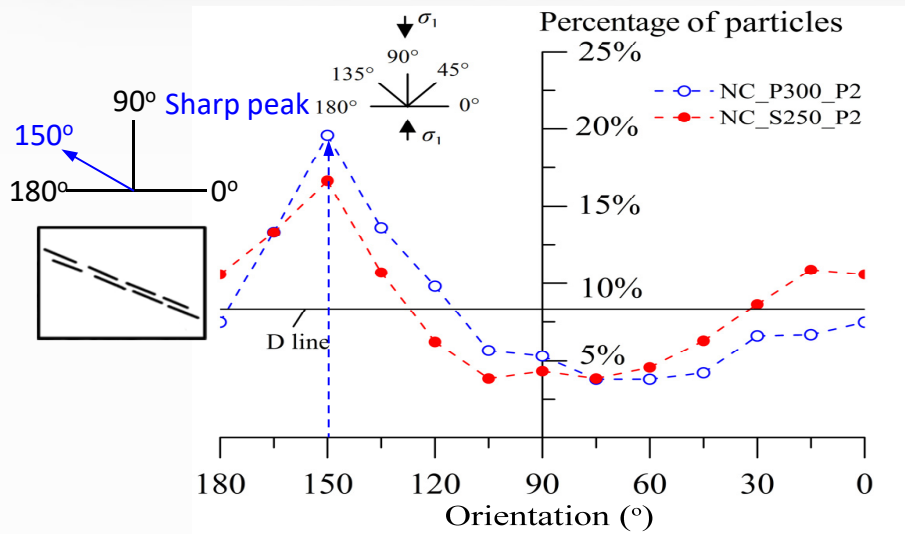
Cas surconsolidé



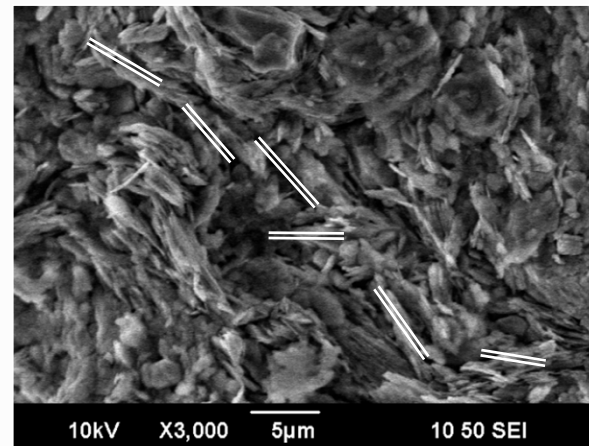
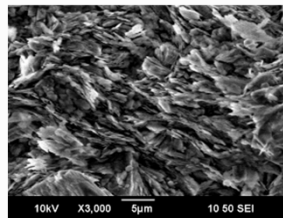
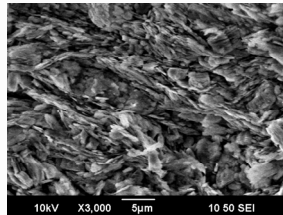
Pic arrondi



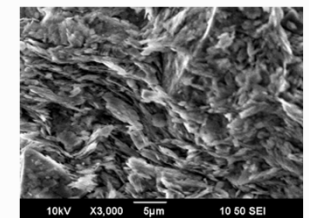
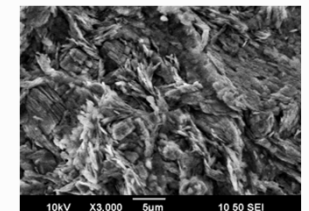
Caractérisation de la Microstructure – Orientation des particules (MEB)



NC_P300_P2

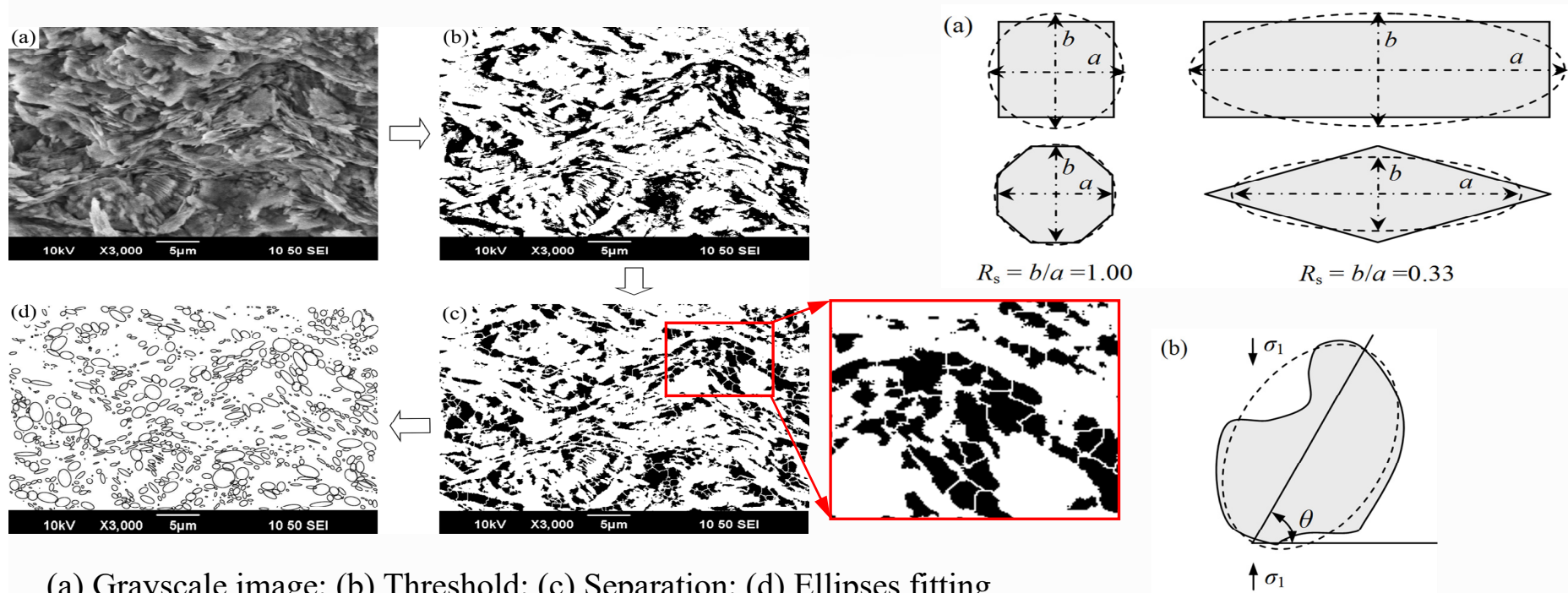


OCR3.3_P300_P2



Caractérisation de la microstructure – Forme et Orientation des pores (MEB)

(Q. Gao, 2018)



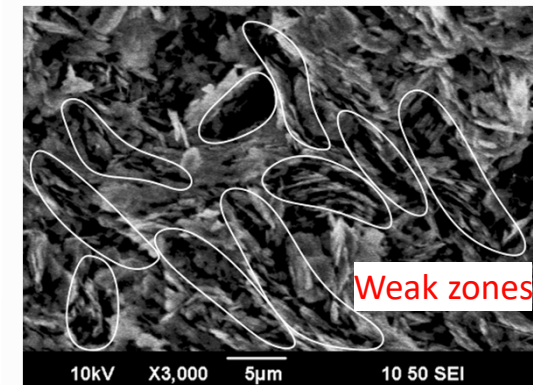
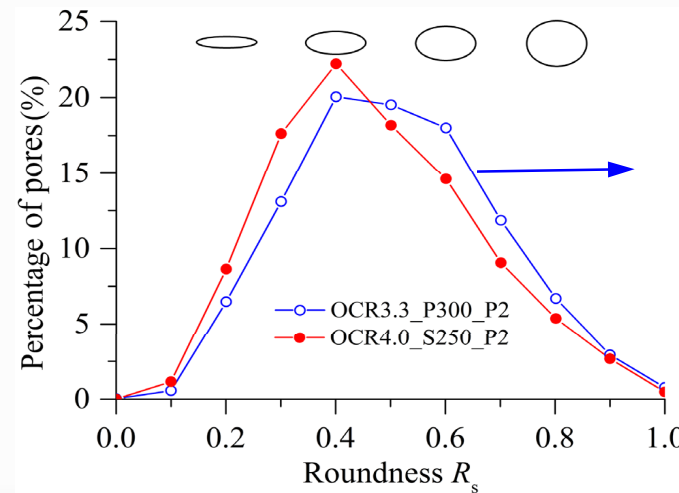
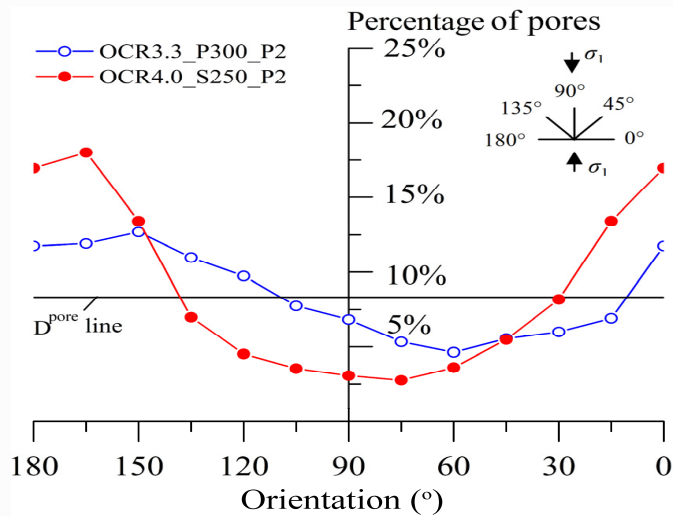
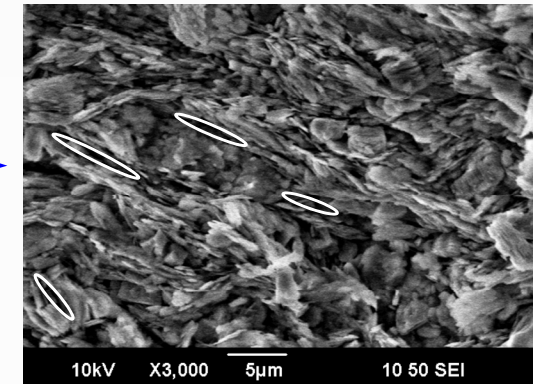
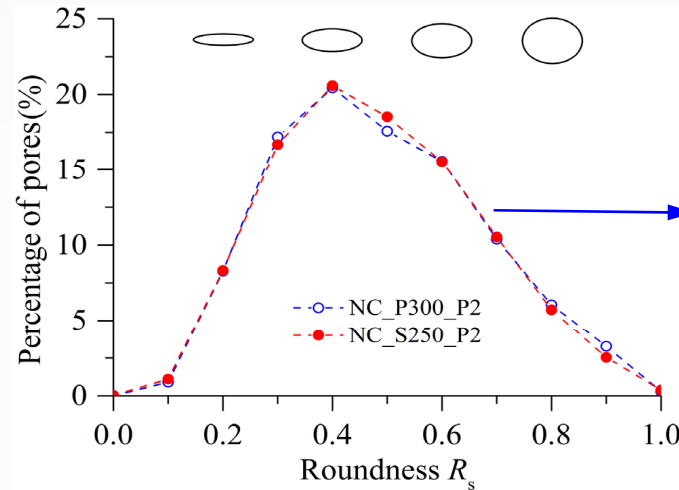
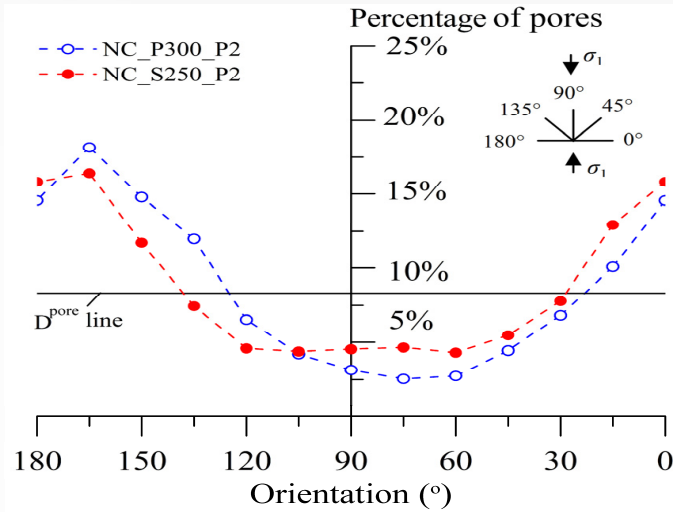
(a) Grayscale image; (b) Threshold; (c) Separation; (d) Ellipses fitting

Adjustable watershed algorithm

Identification de la géométrie des pores

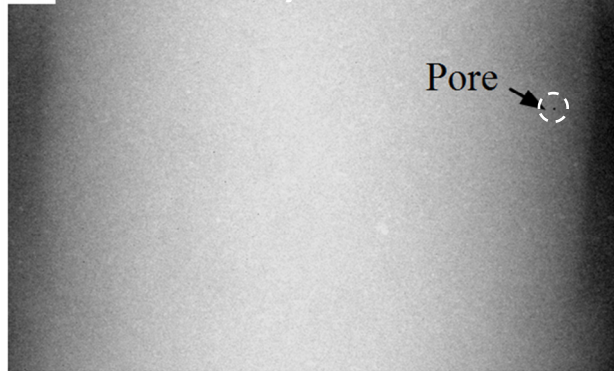
Définition des propriétés des pores
forme et orientation

Caractérisation de la microstructure – Forme et Orientation des pores (MEB)



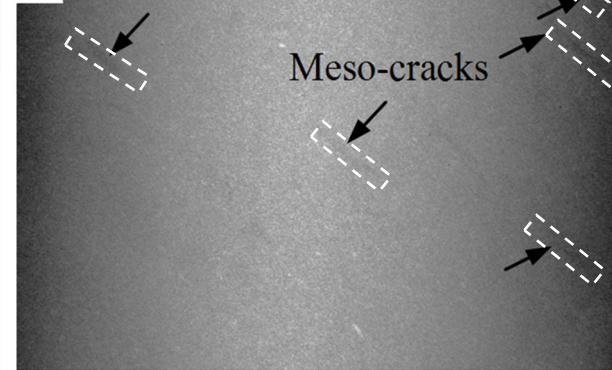
Caractérisation de la microstructure – Microfissuration (Microtomographie)

(a) Contractive

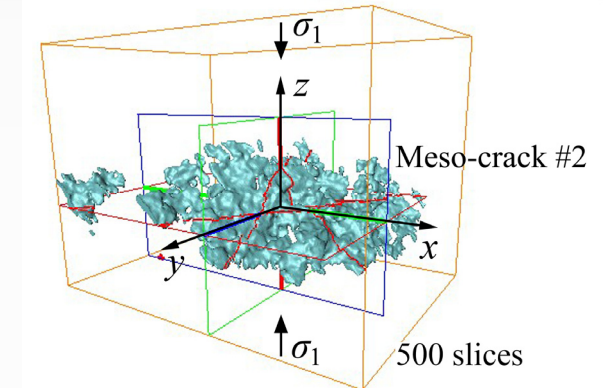


Projection de NC_P300_P2

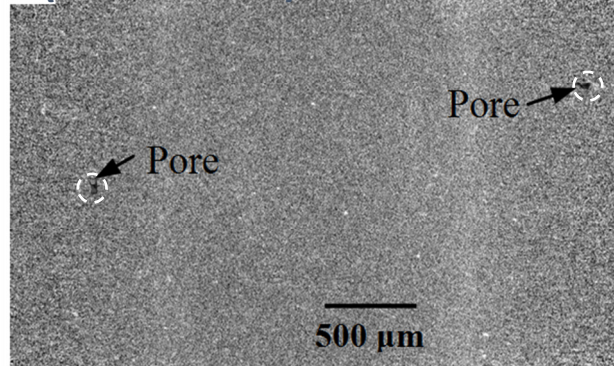
(c) Dilative



Projection de OCR3.3_P300_P2

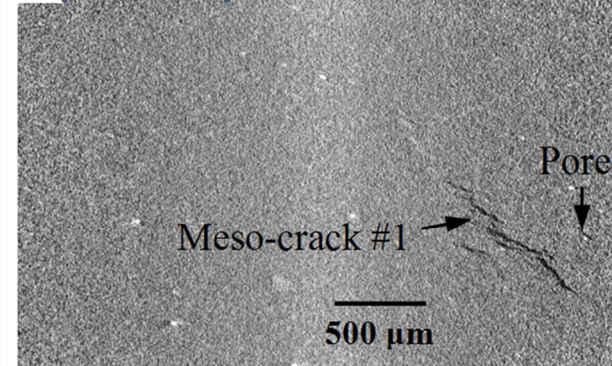


(b) Contractive

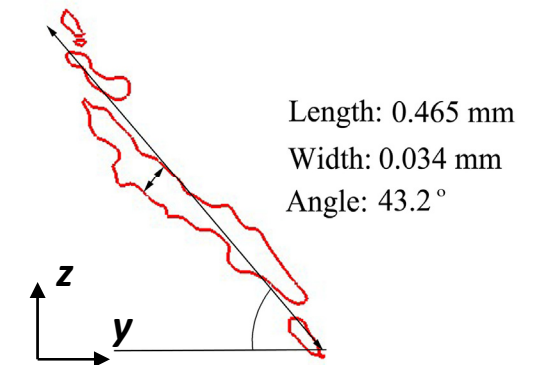


Coupe de NC_P300_P2

(d) Dilative

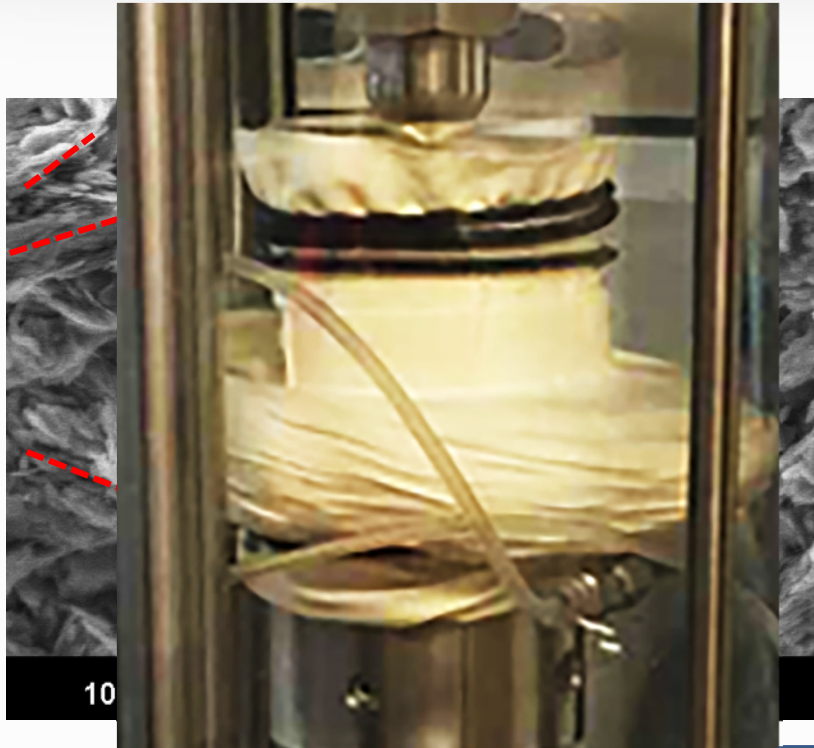


Coupe de OCR3.3_P300_P2

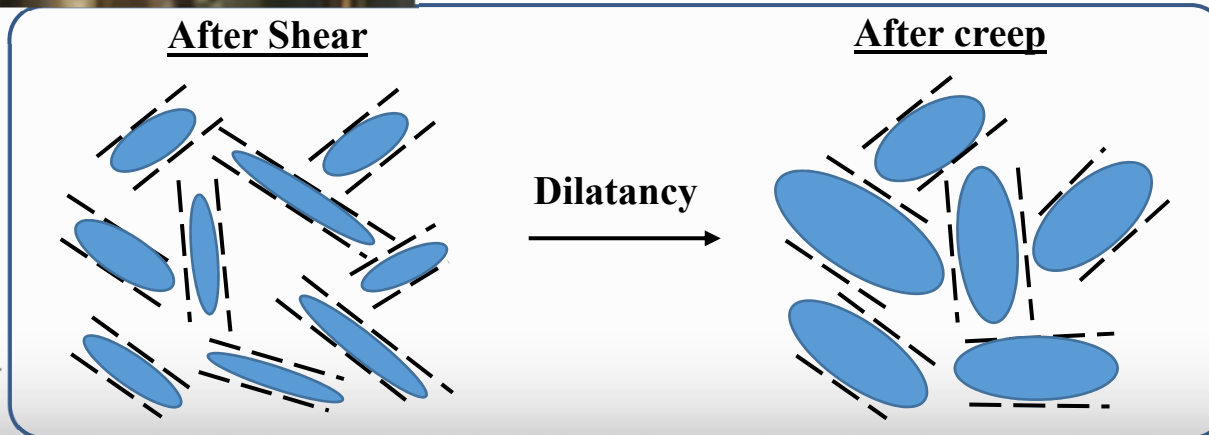
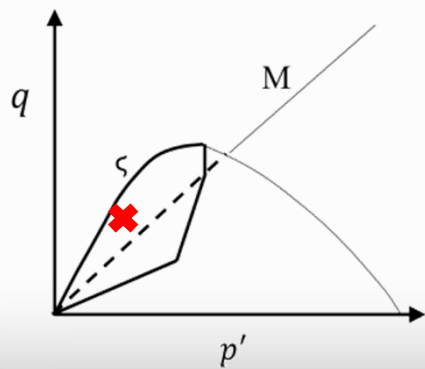
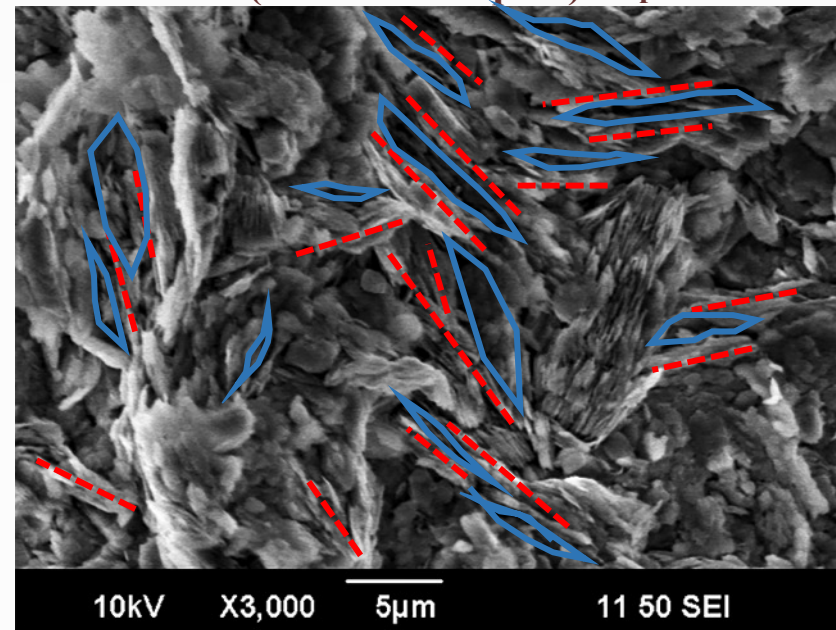


Dilatance et Fluage

(D. Zhao, 2017)



(P010-OCR4-q200)creep



Partie 1 – Conclusions

- 1 À un niveau de contrainte donné, sur le plan des contraintes, l'argile normalement consolidée présente toujours une contractance; alors que la déformation volumique de l'argile surconsolidée dépend du chemin de contraintes : elle peut être en contractance (chemin classique) ou en dilatance (chemin purement déviatoire).
- 2 **Au niveau microstructurelle**, le comportement dilatant sur chemin purement déviatorique est associé à une orientation des particules argileuses organisées par groupe, associées face-face le long d'une ligne brisée.
- 3 Les propriétés des pores sont tout à fait cohérents avec l'orientation des particules, ils sont en forme elliptiques, plutôt ouverts, formant des micro-zones ou peut s'activer le mécanisme de glissement. A un niveau de contrainte proche de la rupture, le fluage provoque un effondrement brutal de l'éprouvette.
- 4 **Le phénomène de dilatance dans les argiles remaniées saturées est gouverné par le développement d'une microfissuration plus ou moins orientée plus ou moins ouverte, et qui peut se propager jusqu'à l'échelle mésoscopique.**

Partie 2 –Modélisation Micromécanique

➔ Approche par le modèle de Chang-Hicher (2005)

Comportement sur chemin
isotrope

Approche micromécanique



- ✓ Mécanismes locaux : introduire les propriétés physicochimiques à travers des forces répulsives and attractives agissant entre clusters
- ✓ Nécessite une validation sur un matériau dont la minéralogie est variable : V2M mélange de Montmorillonite et de Kaolinite

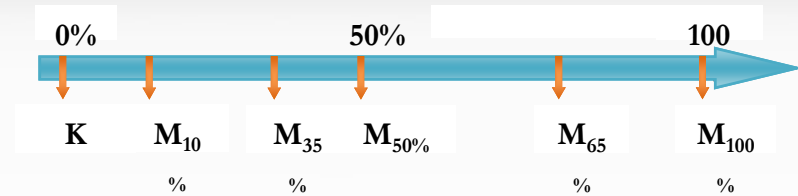
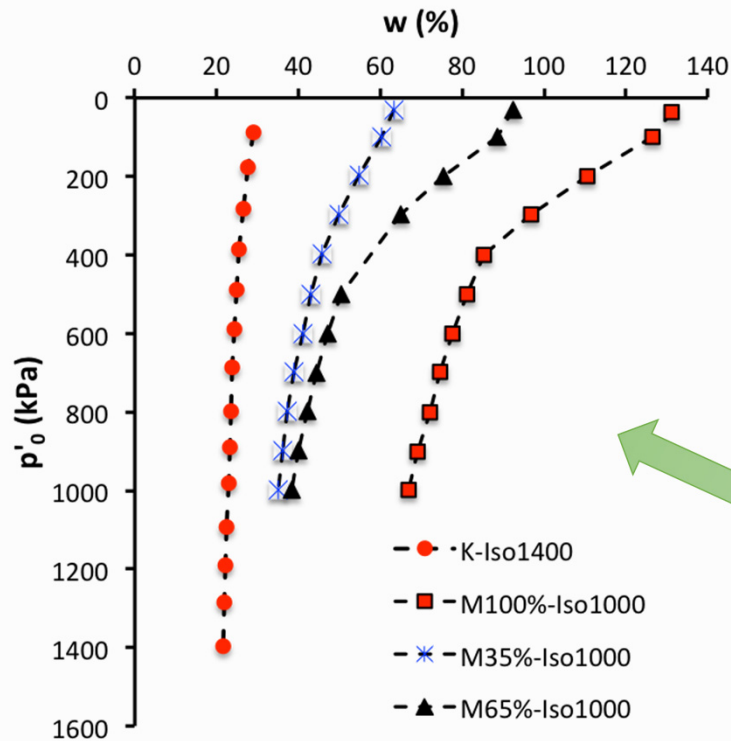
Ching-Shung CHANG

cchang@engin.umass.edu

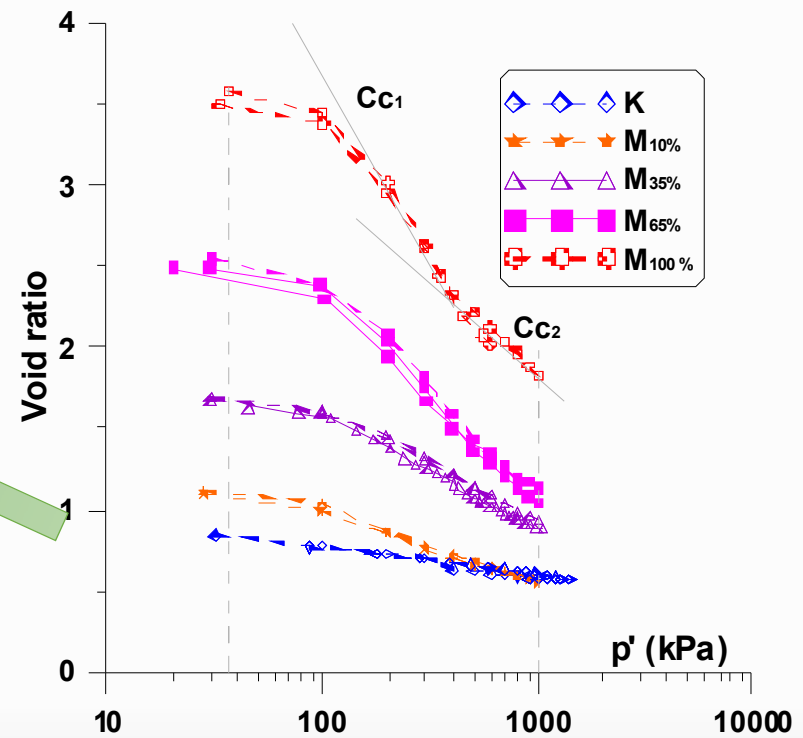


Hattab M, Chang C-S. (2015) « Inter-aggregate forces and energy potential effect on clay deformation »

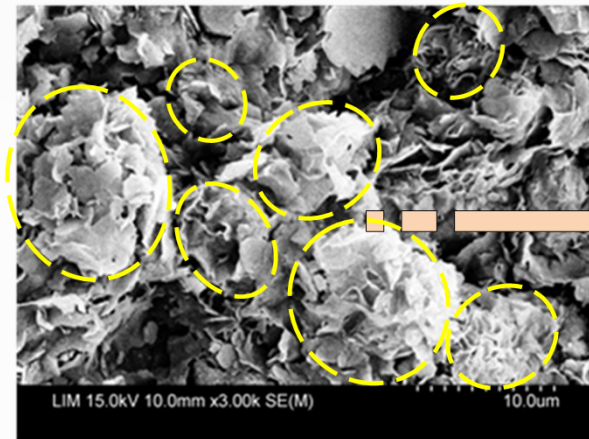
Isotropic paths and Mineralogy variation



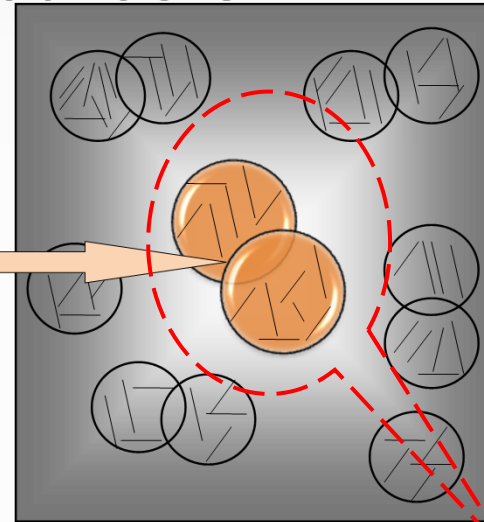
V2M : Kaolin/Montmorillonite mixture (saturated and reconsolidated)



Local properties and Hypothesis



$M_{65\%}$ microstructure (Hammad et al., 2013)



Structure en agrégats des argiles :

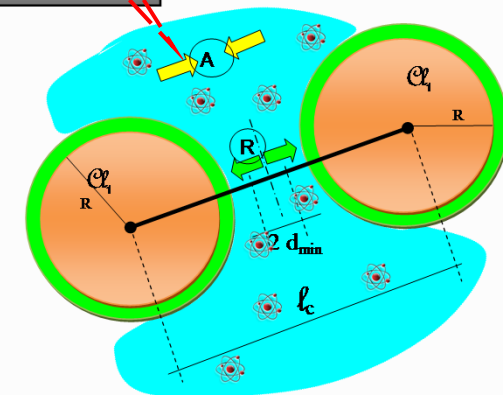
Delage and Lefebvre, 1984,

Hammad et al., 2013,

Hattab et al., 2013

Hypothesis for intercluster interactions:

- 1- Deformation of the assembly is primarily caused by the change of inter-cluster pores. Clusters are considered as no deformable bodies.
- 2- Interacting forces exist between two neighboring clusters and between water and the charged surface of clusters.
- 3- Two types of interacting forces: electrical repulsive and attractive similar to the van der Waals forces. Both contribute to the interclusters normal force.

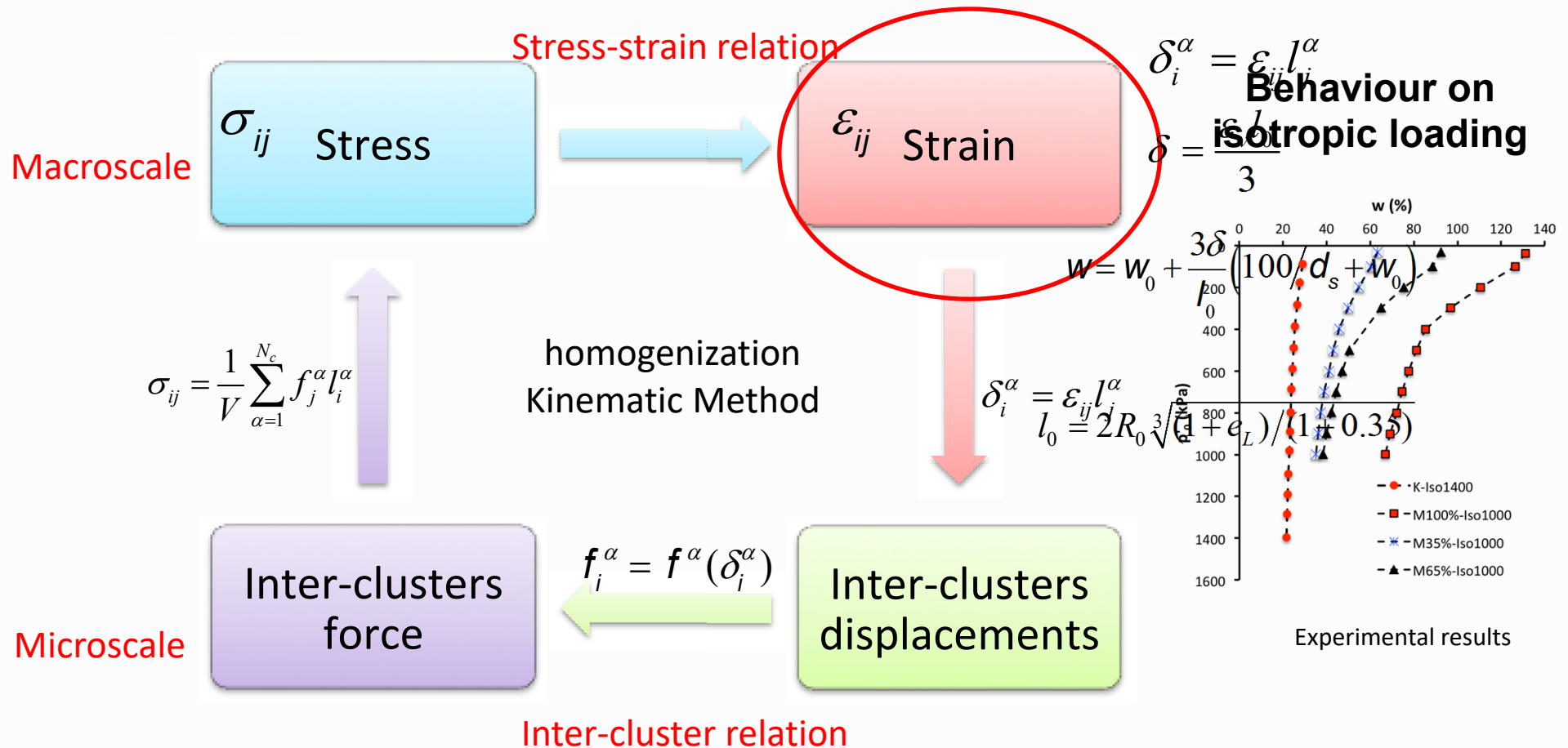


Elementary system definition:
cluster/water/cluster

Micromechanical approach

Micromechanical modeling by Chang (1988),
Chang and Liao (1994) – Chang and Hicher (2005)

Macrostrain-local displacement

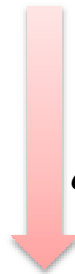


Micromechanical approach

Under isotropic loading conditions



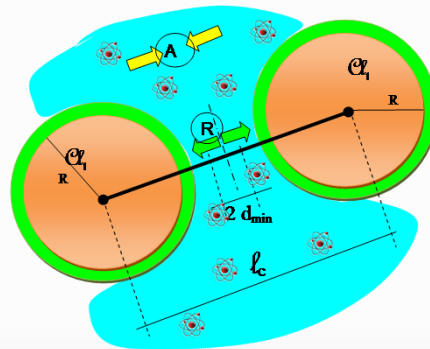
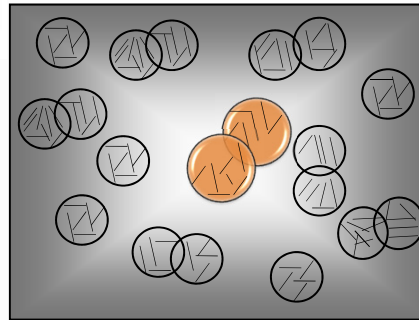
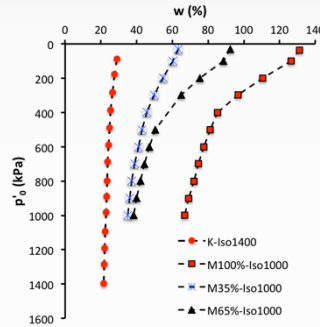
Strain



$$\delta_i^\alpha = \varepsilon_{ij} l_j^\alpha$$



Inter-clusters displacements



Macrostrain-local displacement

$$\delta_i^\alpha = \varepsilon_{ij} l_j^\alpha$$

$$\delta = \frac{\varepsilon_v l_0}{3}$$

$$w = w_0 + \frac{3\delta}{l_0} (100/d_s + w_0)$$

$$l_0 = 2R_0 \sqrt[3]{(1 + e_L)/(1 + 0.35)}$$

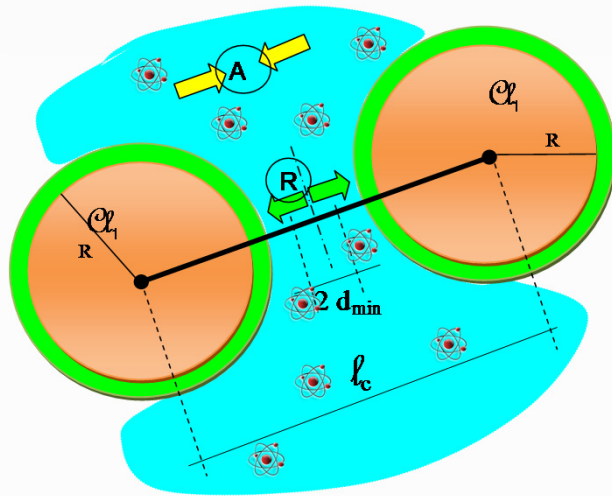
2 Parameters:

l_0 : l_c at liquid limit

R_0 : mean radius of the clusters (SEM photoanalyses)

Micromechanical approach

Under isotropic loading conditions



\tilde{B} , \tilde{A} and d_{\min}
Identify from macro experimental data

Microrelation and local parameters

$$f_i^\alpha = f^\alpha(\delta_i^\alpha)$$

Van der Waals (1873), Gouy (1910), Chapman (1913)
Hamaker (1937), Verwey and Overbeek (1948)

Potential expressions

Total potential in cluster/water/cluster

$$W = W_R + W_A$$

$$\begin{cases} W_R = \tilde{B} R e^{-d_{\min}^{-1}(l_c - 2R)} \\ W_A = -\tilde{A}_w \left[\frac{2R^2}{l_c^2 - 4R^2} + \frac{2R^2}{l_c^2} + \ln \left(\frac{l_c^2 - 4R^2}{l_c^2} \right) \right] \end{cases}$$

Forces deduced by derivation of W

$$f = -\tilde{B} R d_{\min}^{-1} e^{-d_{\min}^{-1}(l_c - 2R)} + \tilde{A} R^2 \left[\frac{l_c}{(l_c^2 - 4R^2)^2} + \frac{1}{l_c^3} - \frac{2}{l_c(l_c^2 - 4R^2)} \right]$$

Repulsive part

Attractive part

Inter-clusters force

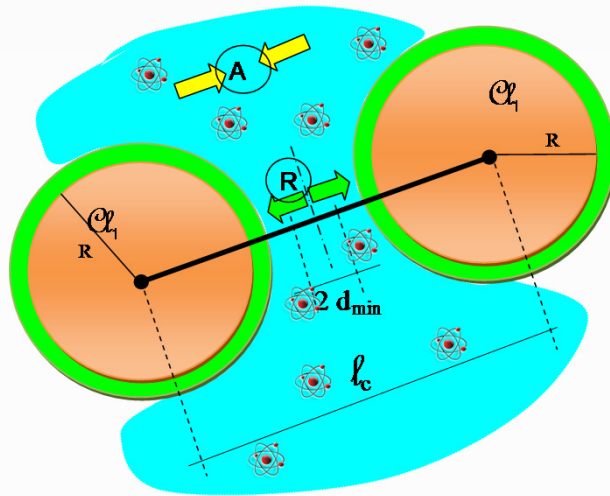
$$f_i^\alpha = f^\alpha(\delta_i^\alpha)$$

Inter-clusters displacements

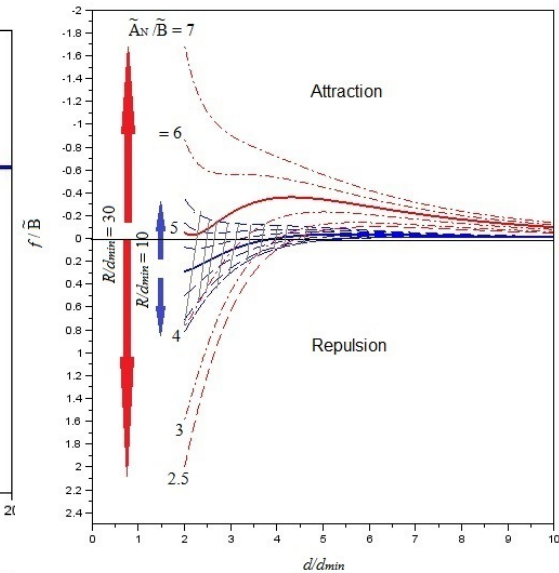
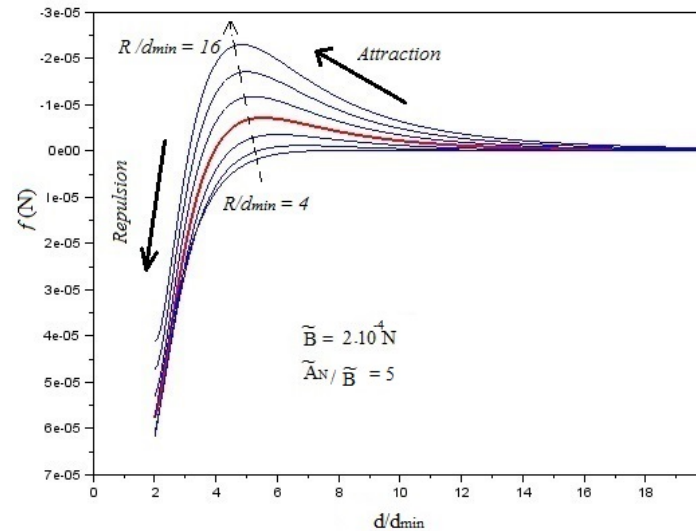
Micromechanical approach

Under isotropic loading conditions

Microrelation and local parameters



\tilde{B} , \tilde{A} and d_{min}
Identify from macro experimental data



$$f = -\tilde{B}R \left(d_{min}^{-1} e^{-d_{min}^{-1}(l_c - 2R)} + \tilde{A}R^2 \left[\frac{l_c}{(l_c^2 - 4R^2)^2} + \frac{1}{l_c^3} - \frac{2}{l_c(l_c^2 - 4R^2)} \right] \right)$$

Repulsive part

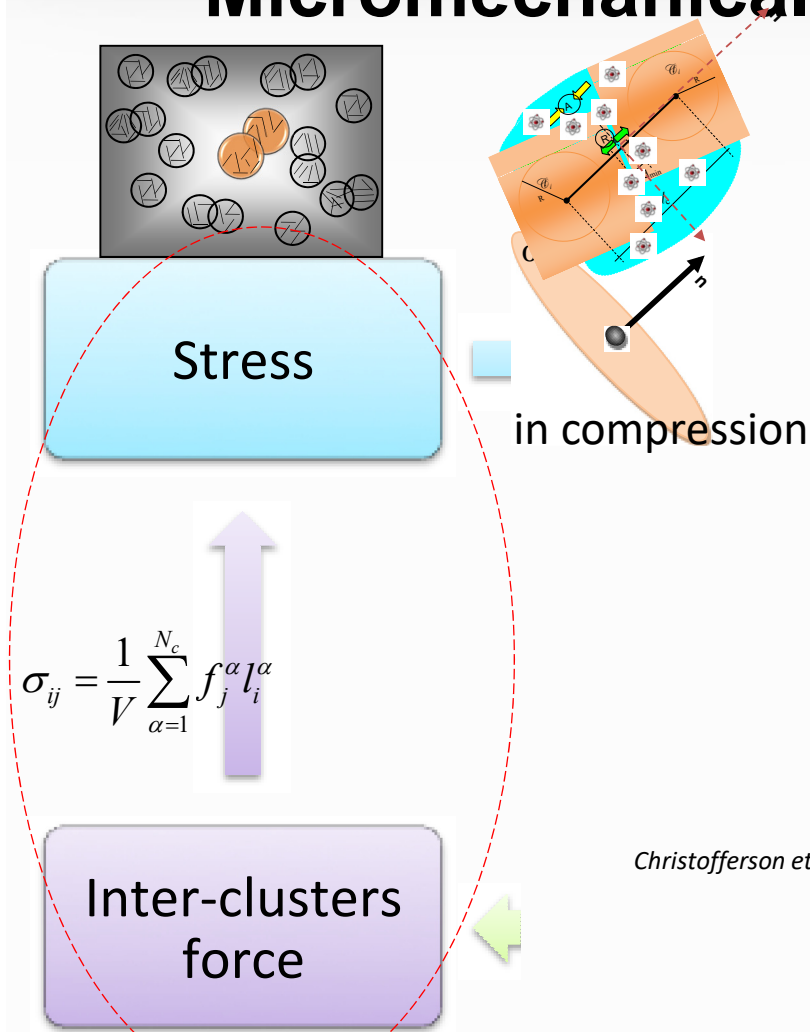
Attractive part

Inter-clusters force

$$f_i^\alpha = f^\alpha(\delta_i^\alpha)$$

Inter-clusters displacements

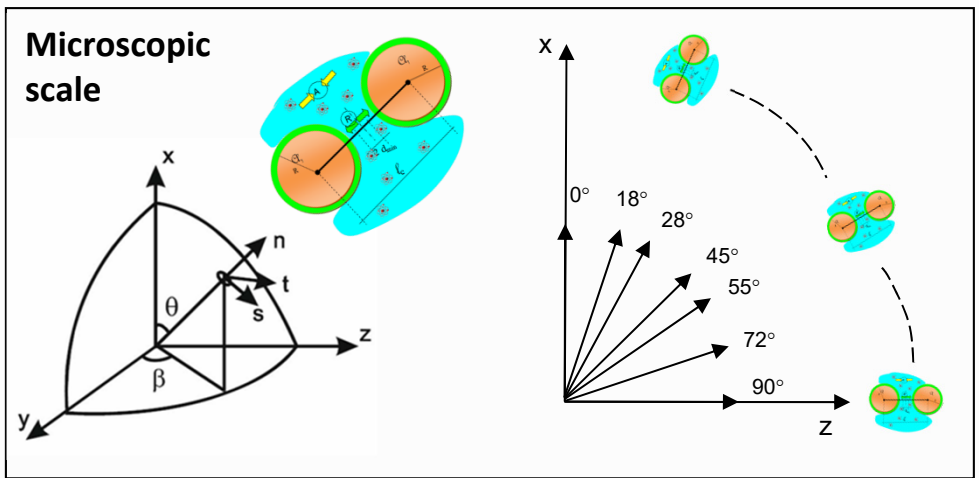
Micromechanical approach



$$\sigma_{ij} = \frac{1}{V} \sum_{\alpha=1}^{N_c} f_j^{\alpha} l_i^{\alpha}$$

Micromechanical modeling by CHANG (1988), Chang and Liao (1994) – Chang and Hicher (2005)

Micro-Macro Transition



$$\sigma_{ij} = \frac{1}{V} \sum_{\alpha=1}^{N_c} f_j^{\alpha} l_i^{\alpha}$$

Christofferson et al. (1981), Rothenburg and Selvadurai (1981)

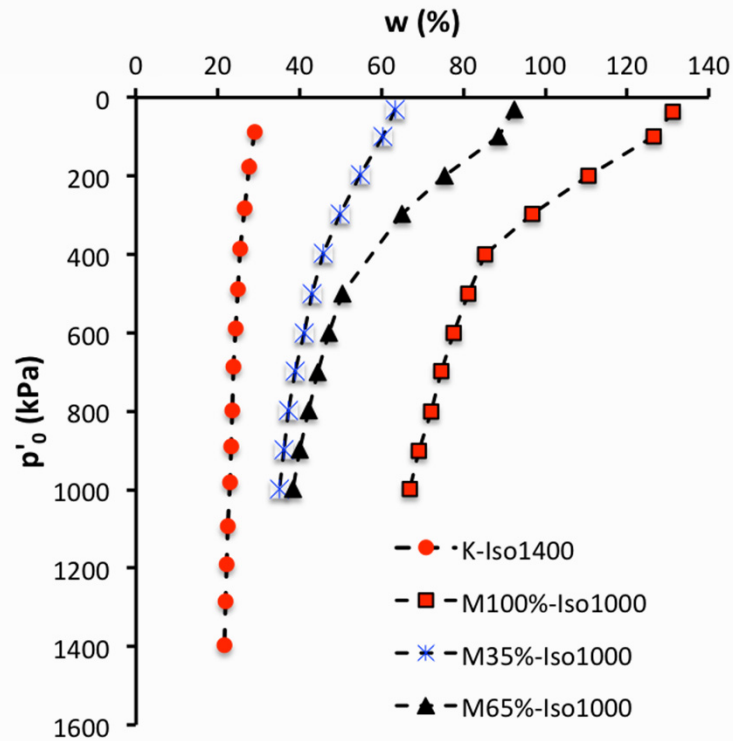
Under isotropic loading conditions

$$\sigma_m = \frac{f l_c N_c}{V}$$

$$N_c/V = 12 / ((\pi/3)(2R)^3(1+e))$$

$$l_c = 2R_0 \sqrt[3]{(1+e)/(1+0.35)}$$

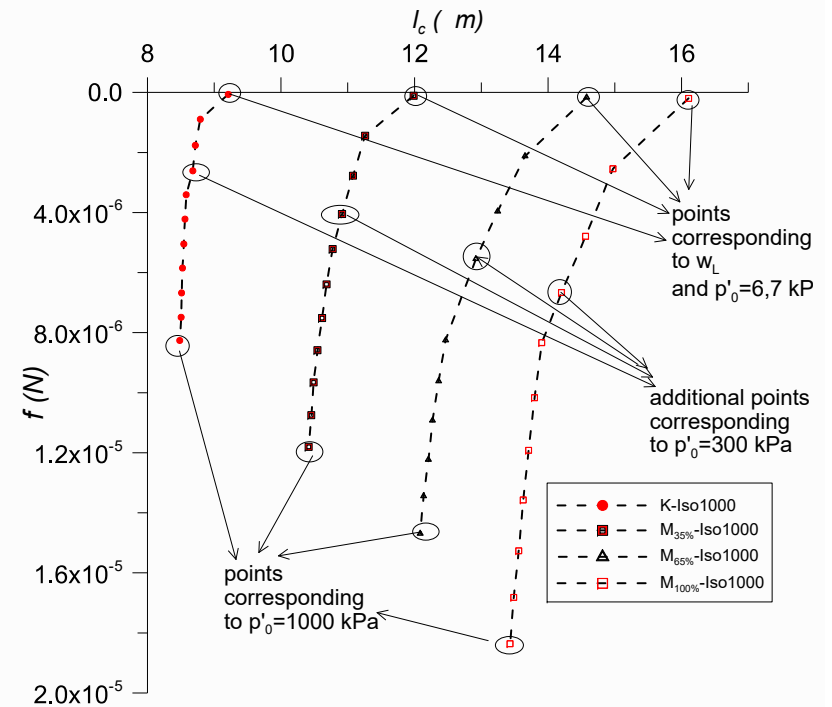
Micromechanical approach



$$\sigma_m = \frac{f l_c N_c}{V}$$

$$l_c = 2R_0 \sqrt[3]{(1+e)/(1+0.35)}$$

Local $f-l_c$ relationship

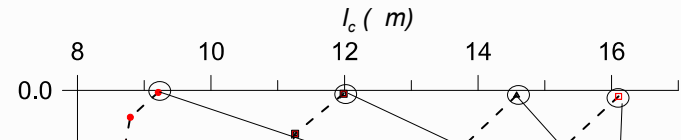
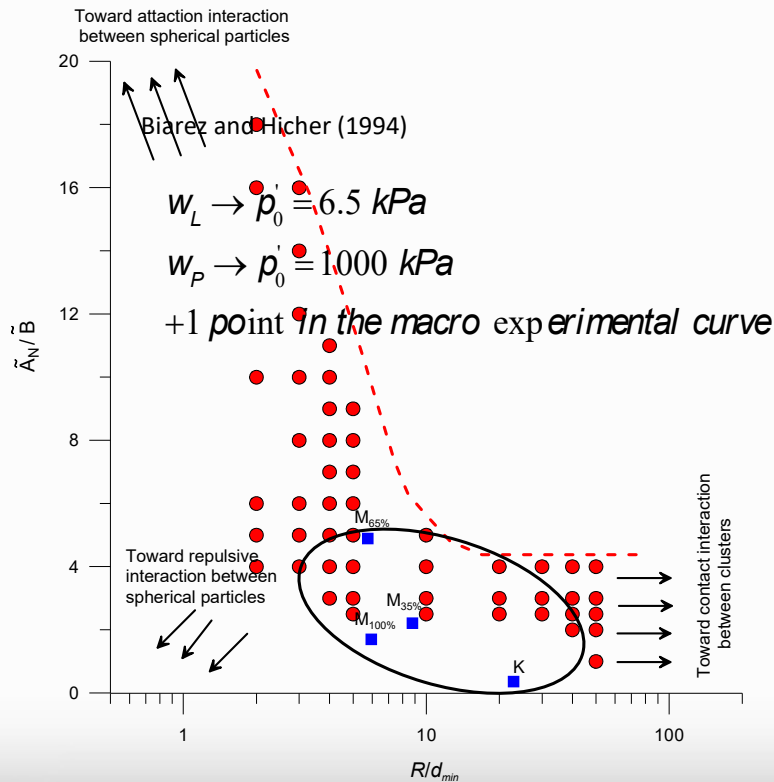


Local equation resolution for the three particular points

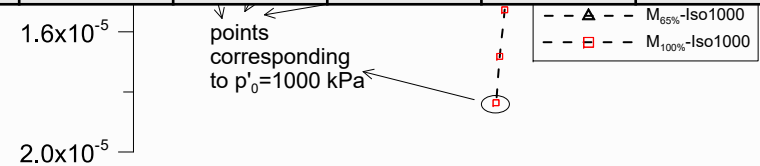
\tilde{B} , \tilde{A} and d_{\min}

Identify from macro experimental data

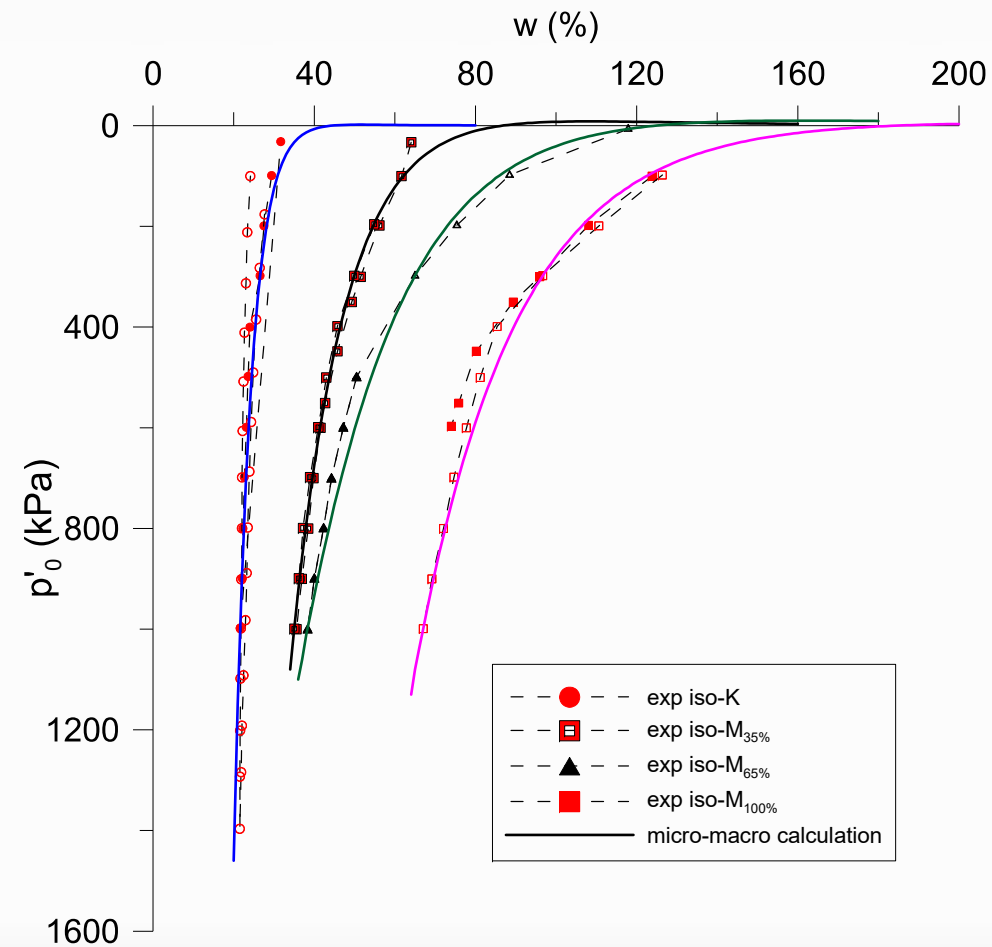
$$f = -\tilde{B}R d_{\min}^{-1} e^{-d_{\min}^{-1}(l_c - 2R)} + \tilde{A}R^2 \left[\frac{l_c}{(l_c^2 - 4R^2)^2} + \frac{1}{l_c^3} - \frac{2}{l_c(l_c^2 - 4R^2)} \right]$$



Material	R_0 (μm)	l_0 (μm)	d_{\min} (μm)	B (N)	A (N)	γ_s/γ_w
K	4	9.21	0.17	$6.17 \cdot 10^{-6}$	$3.84 \cdot 10^{-7}$	2.65
$M_{35\%}$	4.5	11.99	0.51	$3.12 \cdot 10^{-5}$	$3.54 \cdot 10^{-5}$	2.67
$M_{65\%}$	5	14.58	0.87	$6.14 \cdot 10^{-5}$	$2.61 \cdot 10^{-4}$	2.70
$M_{100\%}$	5	16.11	0.84	$2.35 \cdot 10^{-4}$	$3.36 \cdot 10^{-4}$	2.73



Simulation results and comparison with experimental results



Partie 2 –Conclusions

- 1 **Encouraging results are obtained showing good agreement between experimental results and simulations, highlighting clearly the variation of the behavior related to the montmorillonite fraction variation on isotropic path**
- 2 **Micromechanical Chang modelling appears as quite relevant to consider Physical-Chemical aspects in the clay behavior**
- 3 Physical Chemical aspects between clusters are taken into account through repulsive and attractive forces similar to double layers and van der Waals forces
- 4 Parameters choice for the local law permit to estimate these forces between clusters in the case of a mix kaolinite/montmorillonite clay, whose the variation of mineralogy and physical properties are caused by the percentage variation of montmorillonite fraction.